Revista Ibérica de Aracnología, nº **33** (31/12/2018): 39–51.
Grupo Ibérico de Aracnología (S.E.A.). ISSN: 1576 - 9518.

ARAÑAS (ARACHNIDA, ARANEAE) DE MENORCA (ISLAS BALEARES, ESPAÑA). 2: "ADENDA ET CORRIGENDA". DESCRIPCIÓN DE TRES ESPECIES NUEVAS

José A. Barrientos[1] & J. Bosco Febrer[2]

[1] Unitat de Zoología. Facultat de Biociències. Universitat Autònoma de Barcelona. 08193, Bellaterra (Barcelona, España)
[2] Es Castell (Menorca, España)
Correspondencia: joseantonio.barrientos@uab.es

Resumen: Se analiza el resultado de nuevos muestreos realizados durante el año 2017 en varios enclaves de la isla de Menorca. En esta ocasión se han recolectado 1627 arañas, pertenecientes a 80 especies y 27 familias. Es destacable la mención de 17 especies no citadas con anterioridad de la isla; diez son primera cita para el conjunto de las Baleares y tres lo son para el ámbito iberobalear. Se procede, además, a la descripción de tres nuevos táxones: *Amaurobius minorca* **sp. nov.**, *Typhochrestus ciliiunti* **sp. nov.** y *Heliophanus inversus* **sp. nov.** Igualmente, se corrige la identificación previa de *Gibbaranea ullrichi* (Hahn, 1835), que corresponde a *Gibbaranea bruuni* Lissner, 2016 (el macho) y *Gibbaranea bituberculata* (Walckenaer, 1802) (la hembra). Se sugiere la sinonimia de *Scotophaeus torretrencada* Wunderlich, 2017 con *Scotophaeus validus* (Lucas, 1846) **syn. nov.**
Palabras clave: Araneae, taxonomía, faunística, Menorca, Islas Baleares, España.

Spiders (Arachnida, Araneae) of Minorca (Balearic Islands, Spain). 2: "Adenda et corrigenda". Description of three new species
Abstract: The results of new surveys carried out during the year 2017 in several localities of the island of Menorca are analysed. On this occasion 1627 spiders were collected, belonging to 80 species and 27 families. Worthy of note is the finding of 17 species for the first time on the island; ten are first records from the whole of the Balearic Islands and three are new to the Ibero-Balearic area. Additionally, three new taxa are described: *Amaurobius minorca* **sp. nov.**, *Typhochrestus ciliiunti* **sp. nov.** and *Heliophanus inversus* **sp. nov.** Also, the previous identification of *Gibbaranea ullrichi* (Hahn, 1835), corresponding to *Gibbaranea bruuni* Lissner, 2016 (the male) and *Gibbaranea bituberculata* (Walckenaer, 1802) (the female), is corrected. The synonymy of *Scotophaeus torretrencada* Wunderlich, 2017 with *Scotophaeus validus* (Lucas, 1846) **syn. nov.** is suggested.
Key words: Araneae, taxonomy, faunistics, Minorca, Balearic Islands, Spain.

Taxonomía / Taxonomy: *Amaurobius minorca* **sp. n.**, *Typhochrestus ciliiunti* **sp. n.**, *Heliophanus inversus* **sp. n.**

Introducción

La publicación Barrientos & Febrer (2017) supuso un importante salto cualitativo en el conocimiento de las arañas de Menorca. Dicho trabajo recoge las aportaciones previas y añade un número considerable de datos y nuevas citas (87 especies) para la isla. En ella se posponía la descripción de varias formas específicas novedosas, que ahora damos a conocer.

Por otro lado, se ha dado continuidad a los muestreos, con lo que se sigue incrementando el conocimiento de la fauna de Menorca.

Además, el trabajo mencionado suscitó el interés de diversos colegas que, por una u otra razón, han abundado en el estudio de la fauna mediterránea; algunos nos han hecho llegar matizaciones, comentarios o dudas en relación con alguna de nuestras identificaciones.

Por todo ello, en esta segunda aportación, recogemos toda esta información que se puede resumir en la expresión empleada en el título (*adenda et corrigenda*).

Material y métodos

Se repitió el protocolo desarrollado en 2015 y 2016 en (Barrientos & Febrer, 2017) durante 2017, pero variando las estaciones de muestreo (Figura 1). En seis de los quince puntos muestreados (Addaia, Carbonell, Montgofre, Sa Boval Vella, Sa Roca y Santa Àgueda), las arañas se recolectaron mediante trampas de caída y captura directa, con una cadencia mensual desde marzo hasta junio (excepto la finca de Sa Boval Vella, que lo fue desde agosto hasta noviembre). En otras parcelas se realizaron visitas esporádicas y las arañas se capturaron de manera directa en muestreos de una hora. Las arañas se individualizaron en viales y se fijaron en etanol al 70%, quedando cada una acompañada del etiquetado correspondiente.

El análisis taxonómico se ha realizado (como en el caso anterior) de una manera combinada, en el gabinete personal de Bosco Febrer (en Menorca) y en el Laboratorio de Entomología de la Universidad Autónoma de Barcelona, siguiendo las pautas generales: observación y manipulación con microscopía (lupa binocular, con iluminación fría) y el auxilio de la bibliografía general pertinente. [Simon (1914-1937), Locket & Millidge (1951-1953), Wiehle (1956, 1960), Locket *et al.* (1974), Roberts (1985-87, 1995) y Nentwig *et al*. (2018)]. En los casos que así lo requerían, en particular para las descripciones de los nuevos taxones, nos hemos auxiliado también de otra bibliografía; estas referencias se indican más adelante. Para las nuevas especies, se han realizado dibujos detallados de su facies general o de su genitalia. Para ello se ha empleado un retículo ocular que permite la traslación de las imágenes al papel; estas figuras se han sombreado ligeramente en función de su relieve y grado de pigmentación, al objeto de obtener una representación visual que facilite el reconocimiento posterior de los taxones.

Desde la perspectiva nomenclatorial nos hemos ceñido al World Spider Catalog (2018).

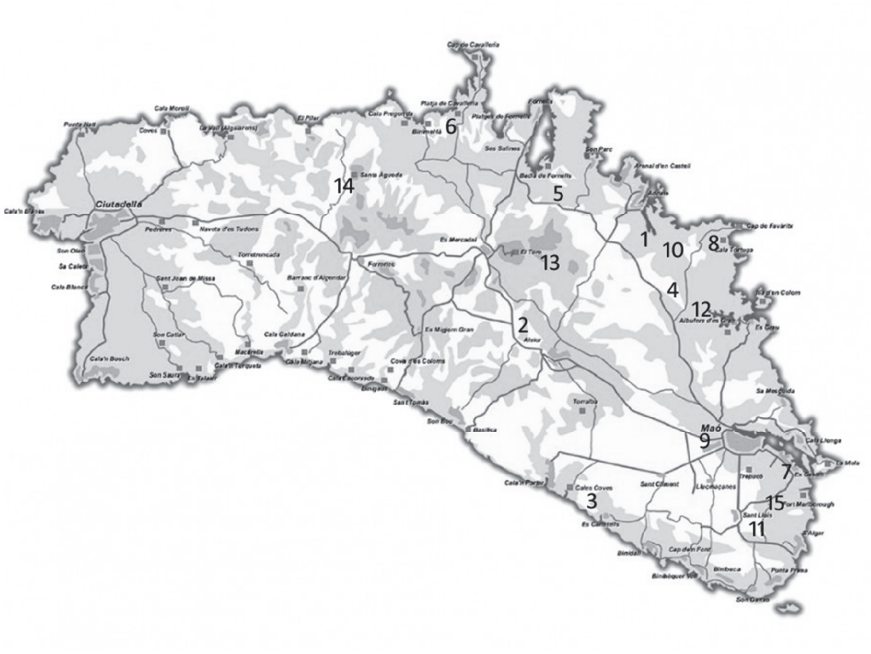


Fig. 1. Mapa general de la isla de Menorca, con indicación de las nuevas localidades de las que proceden las muestras estudiadas; 1, Addaia; 2,Biniguarda; 3, Cales Coves; 4, Capell de Ferro; 5, Carbonell; 6, Cavalleria; 7, Es Castell; 8, Favaritx; 9, Maó; 10, Montgofre; 11, Pou Nou; 12, Sa Boval Vella; 13, Sa Roca; 14, Santa Àgueda; 15, Trebaluger; (más detalles en los Anexos I y II).

En el Anexo I se relacionan las nuevas localidades visitadas, con sus coordenadas y una breve indicación de sus características. Las nuevas muestras obtenidas, ordenadas con un criterio alfabético de los taxones representados, se detallan en el Anexo II.

Abreviaturas en el texto y/o figuras. Caracteres somáticos: AME = ojos antero-medianos; ALE = ojos antero-laterales; PME = ojos postero-medianos; PLE = ojos postero-laterales; gdm = margen depresión glandular; go = orificio glandular; hss = hilera de sedas sagitales. Espinulación: d: dorsal; p: prolateral; r: retrolateral; v: ventral. Genitalia femenina: mp = placa media; sd = canales de fecundación; r = espermatecas. Genitalia masculina: c = conductor; ca = arista del cimbio; cd = depresión distal del cimbio; cm = conductor membranoso; db = digitación basal del bulbo; e = émbolo; ea = apófisis del émbolo; fa = apófisis femoral; lta = apófisis tibial prolateral; dla = apófisis tibial dorsal; pc = paracimbio; pta = apófisis tibial prolateral; rta = apófisis tibial retrolateral; tg = tégula. Instituciones: MNCN = Museo Nacional de Ciencias Naturales de Madrid.

Todas las medidas se dan en milímetros.

a) Resultado global

A lo largo del periodo considerado (aproximadamente un año, 2017) se han capturado 1627 arañas (570♂♂, 519♀♀ y 538 jj), que se distribuyen entre 80 especies nominales, pertenecientes a 27 familias (Anexo II) (no se contabilizan las que están solamente bajo el apelativo genérico, por tratarse de formas juveniles de dudosa asignación específica, aunque en algunos casos indicamos la especie a la que posiblemente corresponden). Cotejando nuestros datos con los obtenidos del análisis bibliográfico, se añaden 17 especies al listado anterior (Barrientos & Febrer, 2017): tres nuevas citas para el ámbito ibero-balear, 10 novedades para el conjunto insular y cuatro primeras citas para la isla de Menorca. Se describen, además, tres especies nuevas. Así pues el balance provisional de diversidad en la isla es de 212 especies de arañas.

b) Adenda. Primeras citas para la fauna de Menorca

Familia AGELENIDAE

***Tegenaria silvestris* L. Koch, 1872** (1 ♀). Aunque *T. silvestris* se ha citado prácticamente de todo el Continente Europeo, los datos relativos al contexto ibérico son realmente escasos. Sin duda los requerimientos ambientales y los hábitos poco conocidos de esta especie son crípticos a nuestra observación y la hacen rara en el Mediterráneo. No obstante, dada su dispersión, no podemos extrañarnos de su presencia en la isla de Menorca, en una zona rocosa y húmeda, donde probablemente coloniza bien el medio epiedáfico. Apoyándose en Loksa (1969) y Brignoli (1971), la identificación de una sola hembra parece inequívoca, tanto por su facies general como por los rasgos concretos de su genitalia.

Familia GNAPHOSIDAE

***Drassodes inermis* (Simon, 1878)** (1 ♀). La identificación de los *Drassodes* Westring, 1851 entraña una considerable dificultad. Los rasgos morfológicos que sirven de diagnosis a algunas de las especies descritas parecen estar sujetos a una cierta variación, lo que pone en entredicho algunas diagnosis disponibles. Esta dificultad es quizá mayor en las hembras, por lo que la identidad de este ejemplar que ahora mencionamos se puede considerar relativa; no obstante cumple los caracteres señalados recientemente por Hervé & Rollard (2009). De ser correcta, esta sería su primera cita para el ámbito ibero-balear.

***Leptodrassex simoni* (Dalmas, 1919)** (1 ♂). La reciente caracterización de esta especie (Murphy, 2007) completa los rasgos de su descripción y facilita su reconocimiento. Los datos conocidos sugieren que se trata de una especie mediterránea occidental (en la Península Ibérica los datos se concentran principalmente en el sur de Portugal); ésta que ahora ofrecemos es la primera mención para el conjunto de las Islas Baleares.

***Micaria dives* (Lucas, 1846)** (1 ♂). De las numerosas especies del género *Micaria* Westring, 1851, *M. dives* es una de las más fácilmente reconocibles. A pesar de su pequeño ta-

maño, tanto los rasgos de su genitalia, como los de su hábitus pigmentario permiten una rápida identificación (Wunderlich, 1980a; Bosmans & Blick, 2000). Está presente en toda Europa y se ha citado de diversas localidades de la Península Ibérica; no obstante esta es su primera cita para el conjunto insular Balear.

Familia LINYPHIIDAE

***Dicymbium tibiale* (Balckwall, 1836)** (1 ♀). La caracterización ofrecida por Roberts (1985-87) permite identificar esta muestra sin ningún género de dudas. No obstante, se trata de una especie propia de las zonas centrales y meridionales de Europa, que no se ha citado ni de Italia ni de la Península Ibérica hasta la fecha. Se trata, por tanto, de una primera cita para el ámbito ibero-balear, que debería ser confirmada en un futuro con nuevas capturas.

***Neriene furtiva* (O.P.-Cambridge, 1871)** (1 ♀). Es una de las siete especies europeas del género, ampliamente extendida por toda Europa. Se conocen numerosos datos de la Península Ibérica, especialmente de Portugal [(Morano *et al*. (2014); hay una antigua cita previa de Mallorca (Bristowe, 1939)]. Sus rasgos morfológicos están sobradamente caracterizados, particularmente en Roberts (1985-87).

***Trichopterna cucurbitina* (Simon, 1881)** (8 ♂♂). Este pequeño linífido ha sido bien caracterizado por Bosmans *et al*. (2010) a partir de material capturado en Portugal. Este es su primer dato para las Islas Baleares; parece razonable pensar que se encuentre también en otros muchos lugares de España peninsular.

Familia LYCOSIDAE

***Trochosa ruricola* (De Geer, 1778)**. Una segunda revisión de todas las muestras disponibles (en total: 7 ♂♂, 8 ♀♀ y 5 jj), así como de la bibliografía pertinente, nos inclinan a identificar como *T.ruricola* las muestras señaladas como una posible nueva especie en el trabajo previo (Barrientos & Febrer, 2017). A pesar de presentar (aparentemente) algunos rasgos diferenciales tanto en el epigino como en el bulbo copulador, la lectura detenida principalmente de las publicaciones de Engelhardt (1964) y Hepner & Milasowszky (2006) sugieren que se trata de la especie principal del género. Paradójicamente la especie, ampliamente citada en la Península Ibérica, solo se había mencionado con antelación de Mallorca en una sola ocasión (Bristowe, 1935); esta segunda cita para las Islas Baleares, lo es por vez primera para Menorca.

Familia PHILODROMIDAE

***Pulchellodromus bistigma* (Simon, 1870)** (1 ♂). La identificación del macho capturado se ha realizado siguiendo la publicación de Muster *et al*. (2007). Se trata de una primera cita para el conjunto de las Islas Baleares; su presencia en Menorca es concordante con los postulados de distribución mencionados en Muster *et al*. (2007).

Familia SALTICIDAE

***Chalcoscirtus infimus* (Simon, 1868)** (1 ♀, 1j). Tanto *C. infimus*, como *C. atratus* (Thorell, 1875) se han citado de las Islas Baleares, pero la primera no se conocía de Menorca. *C. infimus* es una especie muy común en la Península Ibérica y ampliamente extendida por toda Europa; es lógico que antes o después se citaría también de Menorca. La forma y orientación de las espermatecas son caracteres fácilmente apreciables (Wunderlich, 1980b) que permiten separar ambas especies (Prószyński 1976).

***Pseudeuophrys vafra* (Blackwall, 1867)** (6 ♂♂, 1 ♀). Especie extendida por toda Europa, en particular por los países ribereños del Mediterráneo. No obstante se dispone de pocos datos de la Península Ibérica (Morano *et al.*, 2014) y no había ninguno de las Islas Baleares. Entre las especies de *Pseudeuophrys* Dahl, 1912, se puede distinguir por algunos rasgos de su pigmentación, por la disposición del émbolo y la apófisis tibial (en los machos) y por la forma de las depresiones del epigino (en las hembras) (Metzner, 1999; Nentwig *et al*., 2018).

Familia THERIDIIDAE

***Enoplognatha diversa* (Blackwall, 1859)** (1 ♂). El género *Enoplognatha* Pavesi, 1880 incluye un conjunto de especies sumamente complejo. La revisión de Bosmans & Van Keer (1999) ha supuesto un instrumento de gran utilidad. Ateniéndose a dicha publicación y a la caracterización que ofrecen de *E. diversa*, hemos podido identificar este ejemplar. Se trata de una especie común en la Península Ibérica, citada previamente de la isla de Mallorca (Bosmans & Van Keer, 1999, 2012).

***Episinus algiricus* Lucas, 1846** (2 ♀♀). Citada prácticamente de todos los países del entorno mediterráneo occidental, no se había mencionado del conjunto balear. Esta especie de H. Lucas ha sido recientemente caracterizada por Knoflach *et al.* (2009), lo que ha hecho posible una identificación segura de las dos hembras estudiadas.

***Heterotheridion nigrovariegatum* (Simon, 1873)** (1 ♀). *H. nigrovariegatum* se ha mencionado prácticamente de todos los países de Europa; no obstante, sólo existen dos citas antiguas de la Península Ibérica (Cuni i Martorell, 1888 y De la Fuente, 1898). Este es el primer dato faunístico para el conjunto de las Islas Baleares. La identificación de esta única hembra capturada se basa tanto en la morfología del epigino y vulva, como en el habitus pigmentario y resto de caracteres somáticos, apoyándonos especialmente en Jäger *et al*. (2000) y Knoflach *et al.* (2009).

***Robertus lividus* (Blackwall, 1836)** (2 ♀♀). Es una especie bien caracterizada en la bibliografía que se extiende por todo el continente europeo. Sin embargo, en la Península Ibérica los datos conocidos se circunscriben a la franja pirenaica (Morano *et al*., 2014); no obstante, pensamos que su distribución debe ser bastante más amplia. El dato aportado implica su primera mención para las Islas Baleares.

Familia THOMISIDAE

***Ozyptila bejarana* Urones, 1998** (1 ♀). La información que tenemos de esta especie emana de su descripción (Urones, 1998), a partir de muestras de Béjar (Salamanca); se dispone también de varias localizaciones en el sur de Francia (Cornic & Bounias-Delacour, 2013). Aunque desconfiamos, en un principio, de la identidad de una hembra capturada en Menorca, la estructura de su genitalia y los datos morfológicos de nuestro ejemplar son claramente coincidentes con los que tiene la especie salmantina.

***Ozyptila werstringi* (Thorell, 1873)** (2 ♀♀). No hay datos de esta especie en los países mediterráneos; tan solo se conoce de Fenoscandia y Centroeuropa. De nuevo la genitalia de los dos ejemplares capturados abunda en su identidad con dicha especie (Wunderlich & Schultz, 1995). No disponemos de machos que corroboren esa identificación, por lo que no descartamos que pudiera tratarse de una especie afín, pero próxima, a la ya conocida.

Al margen de los problemas de identidad que plantean algunas hembras, resulta evidente que *Ozyptila* Simon, 1864 es un género mal conocido y necesitado de más información de carácter faunístico, además de una profunda revisión.

c) Adenda (descripción de nuevos taxones)

***Amaurobius minorca* Barrientos & Febrer, n. sp.**
Fig. 2 y 3.

MATERIAL TIPO: ♂ HOLOTIPO (Ref. MNCN 20.02/19336), Parque Natural de S´Albufera des Grau, finca Santa Madrona (Menorca, Islas Baleares, España), 26/04/2016, Bosco Febrer leg. ♀ PARATIPO 1 (Ref. MNCN 20.02/19337), misma localidad y fecha que el holotipo, Bosco Febrer leg. ♂ PARATIPO 2 (Ref. MNCN 20.02/19338, Carbonell (Menorca, Islas Baleares, España), 12/03/2017, Bosco Febrer leg. ♀ PARATIPO 3, (Ref. MNCN 20.02/19339, Biniati (Menorca, Islas Baleares, España), 17/06/2016, Bosco Febrer leg.

OTRO MATERIAL ESTUDIADO: 2 ♂♂ (Col B. Febrer), Parque Natural de S´Albufera des Grau, ullastrar (Menorca, Islas Baleares, España), 16/01/2016, Bosco Febrer leg. 1 ♂ (Col J.A. Barrientos), Parque Natural de S´Albufera des Grau, finca Santa Madrona (Menorca, Islas Baleares, España), 20/02/2016, Bosco Febrer leg.

DIAGNOSIS: Extremo antero-dorsal de la tibia con un reborde laminar esclerosado que muestra una escotadura redondeada que separa varios salientes laminares: el mayor, dorsolateral, de contorno subtriangular y su extremo en punta aguda; el reborde laminar es más corto en su parte retrolateral, se dobla y forma un segundo saliente en punta aguda que enlaza en la base con un tercero, también puntiagudo y esclerosado. El cimbio es corto y abombado, por la escasa longitud de su punta; en la parte retrolateral se muestra más consistente, con una zona aristada y roma, en la que encajan las estructuras correspondientes de la tibia. En el bulbo en reposo una digitación aplanada protege la parte anterior y sobresale, por fuera de ella, un saliente submembranoso y blanquecino (émbolo), protegido por otro saliente acanalado (conductor).

Epigino formado por una placa media aplanada y subrectangular; en sus bordes antero-laterales se incian los conductos internos y su parte posterior está rodeada (casi por completo) por un reborde del epigastro. Conductos internos cortos y espermatecas redondeadas.

DESCRIPCIÓN DEL MACHO:
Longitud/anchura del escudo prosómico: 1,05/0,86. Longitud/anchura del opistosoma: 1,06/0,66. Medidas de las patas (coxa+trocánter+fémur+patela+tibia+metatarso+tarso); patas I: 3,26 (0,23+0,14+0,87+0,31+0,70+0,60+0,41); patas II: 2,82 (0,21+0,12+0,74+0,23 +0,55+0,58+0,39); patas III: 2,35 (0,16+0,09+0,64+0,23+0,45+0,43+0,35); patas IV 3,10 (0,21+0,12+0,82+0,29+0,70+0,59+0,37). Patas: I>IV>II>III.

Prosoma. El escudo presenta un aspecto abombado (en observación lateral), sin apenas diferencia entre la zona cefálica y la torácica. El tegumento es liso y brillante, con una coloración predominante de tono ámbar amarillento; está ligeramente manchada de negro pálido en su mitad anterior, con una par de líneas radiales y otra sagital muy tenues. La zona ocular, entre la 1º y la 2ª líneas, es claramente negra. Hay una fóvea fácilmente observable en la zona media posterior dibujando una línea sagital estrecha. Los ocho ojos forman dos líneas transversales y todos están claramente areolados de negro; los AME son muy pequeños (0,028), redondeados y un poco más arriba que los ALE (que son los que tienen un diámetro mayor: 0,095); en cambio los ALE (0,047) y PLE (0,047) están muy próximos; los PME también están más cerca de los PLE que el uno del otro. El clípeo es estrecho y tiene una anchura inferior (0,038) al diámetro de los ojos ALE.

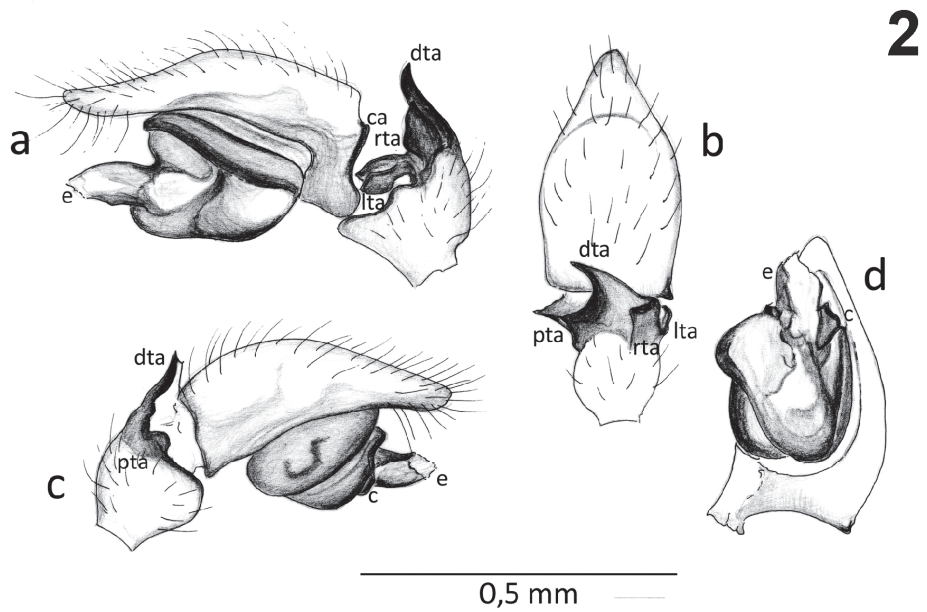
Los quelíceros poseen un tallo de longitud media (0,33) y una anchura frontal de 0,20; de coloración y aspecto similar a la del escudo, y con algunas cerdas en su lado interno que se entrecruzan. La parte distal no diferencia dientes, ni en su promargen ni en el retromergen, definido por algunas cerdas curvadas y paralelas que flanquean el gancho en reposo. El esternón, la pieza labial y las láminas maxilares están ligeramente manchados de negro; en especial el primero y la parte distal de las láminas.

Patas robustas, de un color uniforme y similar al del escudo. En ellas se aprecia la siguiente espinulación:

♂ holotipo	Pata I	Pata II	Pata III	Pata IV
fémur	d(1)	d(1)	p(1)	d(1)
patela	sin	sin	sin	sin
tibia	v(1)	v(1)	v(1)	d(1) p(1) r(1) v(1)
metatarso	v(1)	v(1)	d(1) p(2) r(1)	d(1) p(2) r(1) v(1)

Opistosoma ovoideo, con un patrón pigmentario definido; todo él recubierto por una pilosidad corta, traslúcida y esparcida. Por la cara dorsal se aprecia una serie de cinco manchas pálidas, blanquecinas, de bordes precisos, sobre fondo negro: las máculas anteriores son redondeadas, enlazando entre sí en la parte media posterior; el siguiente par de manchas está separado por el fondo negro general en la zona media y presenta una clara curvatura con la concavidad hacia delante; los pares siguientes (tercero, cuarto y quinto) son progresivamente más estrechos y entran en contacto en la parte media, manteniendo una curvatura similar a la del segundo par de máculas. Las zonas laterales y la ventral mantienen la tonalidad negra, claramente más suave en la zona postepigástrica y en las hileras (que tienen un tono pálido, blanquecino).

Palpo masculino (fig. 2a, 2b, 2c y 2d). Fémur y patela sin diferenciaciones destacables. Tibia de mayor tamaño que la patela, dilatándose hacia su extremo distal donde presenta varias formaciones esclerosadas. La tibia, en su extremo distal dorsal, presenta un reborde laminar muy esclerosado que muestra una escotadura redondeada, de modo que en su zona prolateral tiene un contorno rectangular con los extremos en punta aguda (en especial el dorsal; dta); en su parte externa (retrolateral), el reborde laminar, más corto, se dobla y forma una punta aguda (rta). También en la zona retrolateral aparece un segundo saliente, puntiagudo y esclerosado (lta), que enlaza en la base con el anterior. En cambio la parte prolateral es lisa y sólo diferencia una muesca esclerosada (pta) en la que se articula la base del cimbio. El tarso o cimbio es corto y abombado, por la escasa longitud de su punta; sólo en la parte retrolateral se muestra más consistente, con una zona aristada y roma (ca), en la que sin duda resbalan y encajan las estruc-



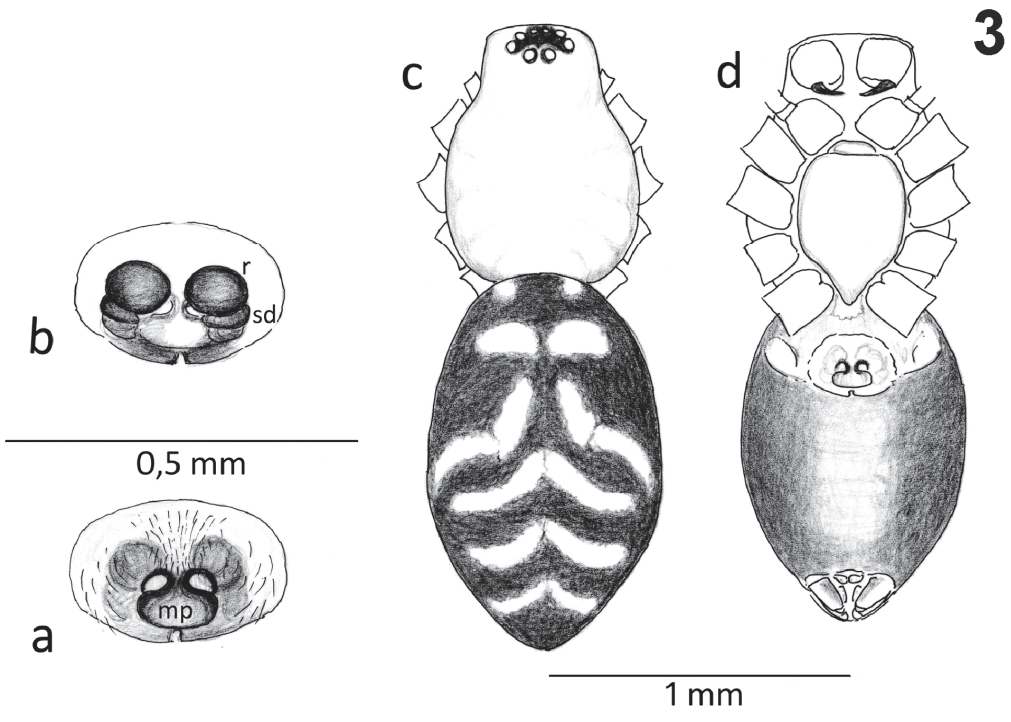


Fig. 2-3. *Amaurobius minorca* n. sp. **2.** Bulbo copulador; **a**) aspecto retrolateral (lateral externo); **b**) aspecto dorsal; **c**) aspecto prolateral (lateral interno); **d**) aspecto ventral. **3. a**) epigino; **b**) vulva; **c**) facies pigmentaria general de la hembra; aspecto dorsal; **d**) facies general de la hembra; aspecto ventral.

turas correspondientes de la tibia que acabamos de señalar. El bulbo en reposo se muestra principalmente por la zona retrolateral. Su zona basal, mejor esclerosada, sobre sale del alveolo y deja ver el conducto interno cercano a su borde. Una digitación aplanada protege la parte anterior y sobresale, por fuera de ella, un saliente submembranoso y blanquecino, el émbolo (e), protegido por otro saliente acanalado (c), el conductor. Por la parte interna (prolateral) se aprecian las partes más esclerosadas de estas estructuras que acabamos de mencionar (fig. 2a, 2b, 2c y 2d).

DESCRIPCIÓN DE LA HEMBRA:

Longitud/anchura del escudo prosómico: 0,76/0,58. Longitud/anchura del opistosoma: 1,24/0,82. Patas (coxa + trocánter + fémur + patela + tibia + metatarso + tarso); patas I: 2,36 (0,21+0,09+0,62+0,25+0,51+0,41+0,27); patas II: 1,77 (0,17 +0,07+0,47+0,21+0,33+0,29 +0,23); patas III: 1,66 (0,15+ 0,08+0,43+0,21+0,29+0,29+0,21); patas IV: 2,32 (0,19+0,09 +0,62+0,23+0,43+0,39+0,37). Patas: I>IV>II>III. En ellas la espinulación es como sigue:

♀ paratipo	Pata I	Pata II	Pata III	Pata IV
fémur	d(1)	sin	sin	sin
patela	sin	sin	sin	sin
tibia	p(1) r(1) v(3)	sin	p(1) r(1)	p(1) v(1)
metatarso	v(1)	v(1)	d(1) p(1)	d(1) p(1)

Prosoma (Fig. 3c y 3d). El escudo prosómico es, como en el macho, de un tono ámbar-amarillento, algo más claro en la zona posterior torácica. El área ocular está bien definida y destaca por la pigmentación negra del espacio interocular; clípeo desarrollado, pero corto (inferior al diámetro de los LAE). Los ocho ojos se disponen en dos líneas trasversales; los MAE son pequeños, mientras que los LAE son los de mayor tamaño; los MPE y LPE tienen un tamaño algo menor; los ojos laterales (ALE y PLE) están muy próximos, aunque separados por la zona negra areolada de ambos. Los quelíceros poseen un tamaño medio, estrechándose hacia su extremo (0,32 de longitud; 1,8 veces su anchura), y un gancho largo y curvado; como en el macho, no presentan dentición en sus márgenes.

Opistosoma ovoideo y alargado, recubierto (especialmente por la cara dorsal) de una fina pilosidad traslúcida y con un patrón pigmentario similar al descrito para el macho.

Epigino (fig. 3a). En el epigino destaca una placa media aplanada y subrectangular (mp), unida al epigastro por su parte media anterior. Su lado posterior está rodeado (casi por completo) por un reborde del epigastro con una pequeña escotadura media. La placa llena un espacio central a modo de septo amplio, que en sus lados antero-laterales da acceso a sendas depresiones y a los conductos internos (sd). En borde anterior y los laterales presentan abundantes sedas de protección.

Vulva (fig. 3b). Los conductos internos se incian en las depresiones antero-laterales, por delante de la placa media. Los conductos son cortos y describen un bucle apretado, abriéndose en sendas espermatecas redondeadas (r), apreciables externamente por la transparencia del tegumento.

ETIMOLOGÍA: Para el término específico se usa el nombre de la isla de Menorca, como sustantivo en aposición. Se trata muy probablemente de un endemismo insular.

HÁBITAT: Los ejemplares estudiados se han obtenido en localidades distintas y distantes. Tienen en común el tratarse de parcelas de secano, con una vegetación de "ullastar" y "lentisco". Siempre se han capturado en el suelo. Incluso en la finca Santa Madrona, del Parque Natural de l'Albufera d´es Grau, donde la vegetación es más variada y acorde con las características de las zonas húmedas mediterráneas, que contiene amplias áreas de matorral con ullastres y lentiscos.

DISCUSIÓN: El género *Amaurobius* C.L. Koch, 1837 tiene una distribución fundamentalmente holártica. De las 66 especies incluidas actualmente en él (Word spiders Catalog, 2018), 35 se encuentra en Europa (nueve de ellas se han mencionado de la fauna ibérica, con algunas formas posiblemente endémicas (*A. cerberus* Fage, 1931; *A. vachoni* Hubert, 1965) y otras de amplia distribución. En las Islas Baleares tan solo se ha mencionado *A. erberi* (Keyserling, 1863).

Los *Amaurobius* son arañas de mediano tamaño y tanto su cribelo como el calamistro son fácilmente reconocibles, cosa que no sucede en el caso de *A. minorca*, que es de pequeño tamaño y tiene el cribelo muy reducido, aunque localizable por delante de las hileras, así como un calamistro difuso.

Por su tamaño corporal y por algunos rasgos de su genitalia, *A. minorca* podría guardar alguna relación con *A. lesbicus* Bosmans, 2011. Coinciden ambas especies en estar localizadas de un modo muy preciso en el ámbito insular, lo que sugiere que, en ambos casos, se dan circunstancias de aislamiento que han asegurado su independencia biológica y morfológica (Bosmans, 2011). Ambas especies deben ser poco proclives a la dispersión. Esta circunstancia parece darse también en otros *Amaurobius* de un tamaño algo mayor, como ocurre con algunas de las especies evidenciadas por Thaler & Knoflach (1993, 1995, 1998, 2002). Coincide *A. minorca* con otros *Amaurobius* en la complejidad de las apófisis tibiales, si bien en la nueva especie menorquina dichas apófisis son laminales y protegen (aparentemente) la base del cimbio de un modo realmente singular. En contrapartida, la genitalia femenina es bastante simple, cercana a determinados patrones que se encuentran en otras especies, como podría ser, por ejemplo, el caso de *A. erberi*, sin que ello se pueda considerar indicio de parentesco.

No descartamos que, en un futuro, ésta y otras especies actualmente ubicadas en el género *Amaurobius*, se consideren constituyentes de un nuevo género.

***Typhochrestus ciliiunti* sp. nov. Barrientos & Febrer, n. sp.**
Fig. 4.

MATERIAL TIPO: ♂ HOLOTIPO (Ref. MNCN 20.02/19340), Torresoli; en el suelo, bajo piedras (Menorca, Islas Baleares, España), 28/12/2015, Bosco Febrer leg.

DIAGNOSIS: Surcos glandulares acompañados de una amplia depresión a cada lado del escudo prosómico, marcando su borde superior de forma aristada (fácilmente apreciables dorsalmente, como dos líneas divergentes). El orificio de las fosetas describe una "C", observable en vista lateral. Una doble cresta de sedas sagitales desde los AME hasta la parte más elevada del escudo.

DESCRIPCIÓN DEL MACHO:
Longitud/anchura del escudo prosómico: 0,68/0,46. Longitud/anchura del opistosoma: 0,67/0,45. Patas (coxa+ trocánter +fémur+patela+tibia+metatarso+tarso); patas I: 1,69 (0,14+ 0,07+0,46+0,15+0,38+0,27+0,22); patas II 1,37 (0,13+0,07 +0,36+0,15+0,23+0,21+0,22); patas III 1,21 (0,11+0,06+0,30 +0,13+0,20+0,21+0,20); patas IV 1,70 (0,13+0,08 +0,44+ 0,14+0,40+0,31+0,20). Patas: IV>I>II>III.

Prosoma (fig. 4a). El escudo prosómico es claramente más largo que ancho. En una vista dorsal destacan un par de líneas que convergen desde los ojos laterales hacia el centro y hacia atrás, sin llegar a reunirse; se trata de los bordes aristados de las depresiones glandulares laterales (gdm), especialmente desarrolladas. En una vista lateral se aprecian bien las depresiones, que ocupan gran parte de la zona cefálica; destaca, en su fondo, la abertura glandular en forma de surco curvado en "C" (go); cada depresión arranca detrás de los ojos laterales, marca un borde superior aristado y se suaviza en su parte posterior.

La zona media de la región cefálica lleva los AME (0,02) y los PME (0,03), bastante próximos cada par entre sí (AM-AM=0,01; PM-PM=0,03); de los AME, pasando entre los PME y llegando hasta la parte más elevada del escudo, se desarrolla una doble hilera de largas sedas (hss), a modo de "cejas", por encima del borde aristado.

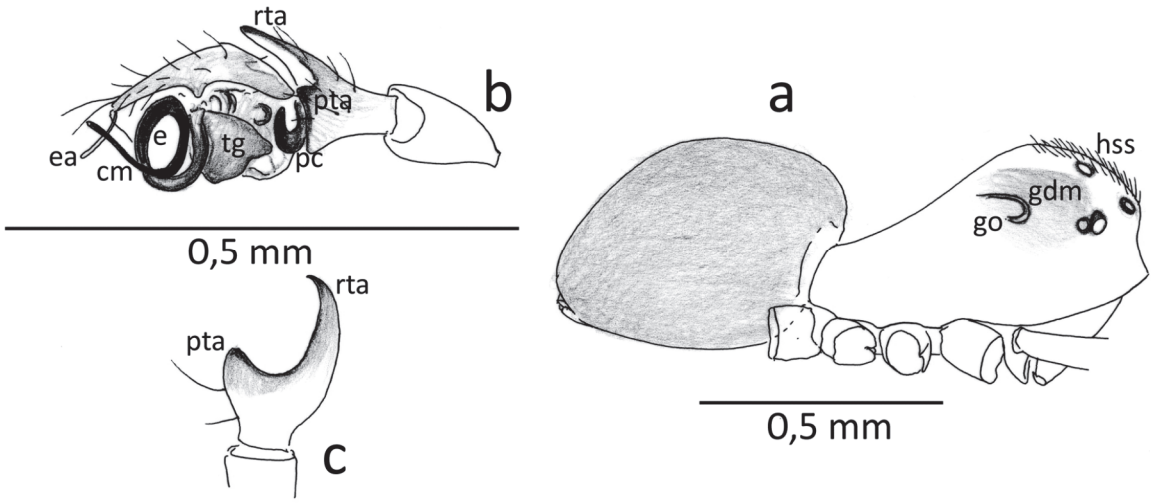


Fig. 4. *Typhochrestus ciliiunti* n. sp. **a**) aspecto lateral del macho (a destacar el gran desarrollo de la depresión prosómica lateral y la abertura glandular, en forma de "C"); **b**) aspecto retrolateral (lateral externo) del bulbo copulador; **c**) aspecto dorsal de la tibia del palpo masculino.

La zona posterior del escudo (torácica) está progresivamente inclinada y no tiene fóvea marcada. Todo el escudo presenta una coloración amarilla-anaranjada, bastante uniforme, con algunos campos radiales algo más oscuros. Los ojos están areolados de negro, por lo que son fácilmente localizables. Siguen las dos líneas teóricas de la disposición general, pero se muestran en cuatro grupos de dos (los AME, los PME, y los dos grupos laterales de los ALE-PLE); los AME tienen un diámetro claramente menor, pero el resto presenta un tamaño similar. El clípeo está bien desarrollado (0,11), protegiendo la base de unos quelíceros cortos (0,13 de largo por 0,12 de ancho, en su parte basal) que diferencian cuatro dentículos en su promargen con un tamaño decreciente hacia la parte distal; no hay dentículos en el retromargen. Sus zonas laterales están provistas de una serie de cinco finas estrías, que contituyen su aparato estridulador.

Esternón (largo 0,36, por 0,32 de ancho) con el borde anterior amplio y recto; sus bordes laterales, arqueados, convergen hacia el extremo posterior en punta redondeada. La pieza labial es corta, estrecha, y queda casi encerrada por el desarrollo de las láminas maxilares, claramente convergentes. Toda la cara ventral del prosoma mantiene una coloración amarillenta, semejante a la del escudo; no obstante los bordes de la placa esternal están remarcados con pigmento negro grisáceo.

Las patas son largas y robustas, de un color amarillento anaranjado uniforme, similar al que presenta el escudo. En ellas no se aprecia ninguna espinulación, si bien las tibias poseen (en su cara ventral) una serie de ocho cerdas de mayor consistencia dispuestas en hilera (son particularmente visibles en las patas III y IV).

Opistosoma ovoideo, con una coloración negra-grisácea, uniforme, y sin un patrón pigmentario destacado, tanto en su cara dorsal como ventral; todo él está recubierto por una pilosidad corta, traslúcida y dispersa. Las hileras, por el contrario, tienen una coloración pálida, amarillenta, y están agrupadas en el extremo de la cara ventral, de modo que no son visibles dorsalmente.

Palpo masculino (fig. 4b y 4c). Obedece de manera clara al patrón descrito (Millidge, 1977; Bosmans & Abrous, 1990) para el género *Typhochrestus*. La tibia (fig. 4c), en su extremo distal y dorsal, presenta un reborde laminar escotado que cabalga levemente sobre la parte basal del cimbio; diferencia solamente dos apófisis, separadas por una amplia escotadura: la apófisis retrolateral (rta) es alargada y se estrecha progresivamente hasta formar una punta esclerosada y ligeramente curva; la prolateral (pta) es corta y roma, poco saliente; no presenta apófisis media. En el bulbo (fig. 4b), el paracimbio (pc) es pequeño, curvado en "C", y queda parcialmente oculto en el reposo. Como en otros *Typhochrestus*, el émbolo (e) se curva en el extremo del bulbo formando un bucle espiralado, de 1,5 vueltas, tras el cual se estrecha y sobresale en punta hacia delante. Su extremo está acompañado de la apófisis del émbolo (ea) poco perceptible por estar adosada a su extremo; también, y apenas visible por su transparencia, hay un conductor membranoso (cm) y laminar. Entre el paracimbio y el bucle del émbolo (en reposo) se aprecia la tégula (tg), una pieza subtriangular bien esclerosada.

HEMBRA desconocida.

ETIMOLOGÍA: El gran desarrollo de las depresiones glandulares laterales, junto con la cresta pilosa que ocupa sagitalmente el espacio central, generan un cierto aspecto de depresiones orbitales, cuyas "cejas" se reúnen en la zona media.

HÁBITAT: El único ejemplar conocido se obtuvo por captura directa en el suelo, bajo piedras en una zona de "ullastrar".

DISCUSIÓN: El género *Typhochrestus* Simon (1884) comprende actualmente 36 especies localizadas en el ámbito paleártico occidental (World spider Catalog, 2018), prioritariamente mediterráneo, siendo especialmente relevante la revisión de las formas del norte de África por parte de Bosmans & Abrous (1990). Se han descrito también varias especies de Canarias (Thaler, 1984; Wunderlich, 1987). En la Península ibérica se han mencionado seis especies (Morano *et al*., 2014), de las que solamente dos [*T. bogarti* Bosmans, 1990 y *T. digitatus* (O.P.-Cambridge, 1873)] parecen tener una distribución amplia. Ésta última se ha mencionado previamente de Mallorca (Orgidan *et al*., 1975). El resto de especies tienen, por el momento, localizaciones muy precisas. *Thyphochrestus* agrupa especies con ejemplares de dimensiones muy reduci-

das y actividades relativamente crípticas, lo que justifica su aparente "rareza", al tiempo que añade considerable dificultad a su estudio.

El ejemplar encontrado en Menorca deberá en un futuro estar acompañado de nuevas capturas que confirmen su estatus; no obstante, presenta rasgos singulares que lo individualizan en el conjunto del género. Los salientes o apófisis de la tibia del palpo tienen un aspecto singular; no hay indicio alguno de una apófisis media y el principal desarrollo responde a la apófisis retrolateral, larga y aguda, lo que en principio la asemenja a *T. alticola* Denis, 1953, a *T. simoni* Lessert, 1907 y, especialmente, a *T. ikarianus* Tanasevitch, 2011. No obstante, el desarrollo extraordinario de las aberturas glandulares, curvadas en "C", no aparece en ninguna de las especies descritas. Más relativo es el desarrollo de la pilosidad mediosagital del escudo, que aparece representado en otras especies del género, aunque en este caso muestra un claro desarrollo.

***Heliophanus inversus* Barrientos & Febrer, n. sp.**
Fig. 5.

MATERIAL TIPO: ♂ HOLOTIPO (Ref. MNCN 20.02/19341), Torresoli (Menorca, Islas Baleares, España), 10/04/2016, Bosco Febrer leg. ♂ PARATIPO 1 (Ref. MNCN 20.02/19342, Maó, finca Fondo Alegre (Menorca, Islas Baleares, España), 25/03/2016, Bosco Febrer leg.

OTRO MATERIAL ESTUDIADO: ♂ (Col J.A. Barrientos), Maó (Menorca, Islas Baleares, España), 13/02/2016, Bosco Febrer leg.

DIAGNOSIS: Apófisis femoral del palpo masculino simple y aguda, ligeramente curvada en el ápice. Dos apófisis tibiales externas (retrolaterales) unidas en su base; ambas son gruesas (en particular la proximal) y ambas terminan en punta curvada, a modo de "tenaza" abierta. El bulbo es grueso, subtriangular, y en su extremo anterior se diferencia un émbolo corto, aplanado y curvado hacia la parte prolateral o interna (una orientación poco habitual).

DESCRIPCIÓN DEL MACHO:
Longitud/anchura del escudo prosómico: 2,03/1,52. Longitud/anchura del opistosoma: 2,03/1,41. Patas (coxa+ trocánter +fémur+patela+tibia+metatarso+tarso); patas I: 4,16 (0,39+ 0,23+1,09+0,66+0,74+0,58+0,47); patas II 3,30 (0,31+0,19 +0,92+0,51+0,47+0,51 +0,39); patas III 3,71 (0,31+0,19+ 0,97+0,49+0,58+0,74+0,43); patas IV 4,35 (0,39+0,23 +1,15 +0,49+0,76+0,82+0,51). Patas: IV>I>III>II.

Prosoma. El escudo presenta, en su parte antero-mediana, una superficie aplanada subcuadrangular ocupada por el área ocular; las zonas laterales (de bordes arqueados) y la posterior (de borde recto) presentan un fuerte declive. El tegumento es negro brillante, con escasa pilosidad; destacan las cerdas finas y erguidas que se encuentran en el área ocular y una serie de pelos escuamiformes, blancos y aplanados, submarginales, especialmente visibles en las zonas laterales posteriores. Clípeo muy estrecho. Los AME casi tocan el borde; tienen un diámetro de 0,35 y una separación de apenas 0,04. Los ALE son claramente menores (0,18) y están algo más atrás; en total el conjunto de los ojos anteriores ocupa un área de 1,09 de ancho por 0,45 de largo. Los LPE, con un diámetro de 0,16, están separados por una distancia de 0,97 y a 0,78 de los AME. Los PME son diminutos (0,04), un poco más juntos (0,94) y a igual distancia de los ALE y los PLE respectivos. Esta disposición ocular es la habitual en las especies del género *Heliophanus* C.L. Koch, 1833. El esternón, que es más largo que ancho, y las láminas maxilares y pieza labial presentan un color negro brillante, como el resto del cuerpo.

Los quelíceros poseen un tallo de 0,70 de longitud con una anchura frontal máxima de 0,43; su coloración es oscura, pero con un tono más rojizo y presentan un diente en el promargen y otro (algo más robusto) en el retromargen; el gancho está regularmente curvado. Patas cortas y robustas, de color negro intenso, que pierde intensidad en los artejos distales (tibia y metatarso) y se tornan en amarillo pálido en los tarsos. En ellas se aprecia la siguiente espinulación:

♂ holotipo	Pata I	Pata II	Pata III	Pata IV
fémur	d(3)	d(3)	d(3) p(1)	d(3)
patela	sin	sin	sin	sin
tibia	v(2)	v(2)	p(1)r(1)	v(2)
metatarso	v(2)	v(2)	v(1) p(2) r (1)	v (1) p(2) r(1)

Opistosoma (fig. 5a) ovoideo, redondeado por su extremo anterior y estrechándose en punta en el posterior, que se continúa por las hileras posteriores (claramente visibles dorsalmente). El tegumento del opistosoma es negro brillante y está recubierto de una pilosidad esparcida traslúcida. En algunas zonas, esta pilosidad se convierte en pelos escuamiformes, espatulados, de color blanco, que forman un patrón pigmentario definido: un arco completo en el borde anterior que se continúa por los lados casi hasta el extremo posterior; un par de pequeñas máculas, poco marcadas, por detrás del arco; una línea transversal claramente interrumpida en el centro, situada en el primer tercio (aparece como dos líneas separadas y arqueadas hacia atrás por los lados); otras dos líneas transversales, también separadas en el centro, en su tercio posterior; y otras dos máculas diminutas, en posición distal, cerca de la inserción de las hileras. La zona ventral es igualmente negra, tanto en el epigastro como en el postepigastro; cerca de la base de las hileras se distinguen un par de manchas claras formadas por pelos blancos escuamiformes. Las hileras se encuentran agrupadas, paralelas y orientadas hacia atrás, sobresaliendo en el extremo posterior del opistosoma (hileras anteriores y posteriores con un artejo basal de 0,27).

Palpo masculino (fig. 5b, 5c y 5d). Fémur grueso, armado de una apófisis simple y aguda (fa), algo inclinada y con su extremo ligeramente curvado; sin aristas o crestas complementarias. Patela corta e inerme. Tibia de longitud similar a la patela, pero provista de un saliente retrolateral grueso, que da lugar a dos apófisis; la prolateral (plta) es más gruesa, pero termina en una punta orientada hacia la parte ventral; la rama retrolateral (rlta) es más aguda y esclerosada y termina en punta curvada hacia la parte medial. En la cara interna de la rama prolateral se apoya un saliente digitiforme del bulbo (db). Tarso corto, con un bulbo voluminoso de contorno subtriangular (vista ventral); la parte basal de éste último presenta dos salientes romos separados por una escotadura que se apoya en la tibia. De estos dos saliente el externo (retrolateral) es más estrecho y alargado, apoyándose claramente en la apófisis tibial interna o prolateral. La parte distal del bulbo se estrecha progresivamente hacia delante, al tiempo que se contornea hasta definir el émbolo (e). Éste, que es relativamente corto, está muy esclerosado y aplanado, se apoya en la depresión que forma el extremo del cimbio (cd) y se curva hacia el lado interno (prolateral).

HEMBRA desconocida.

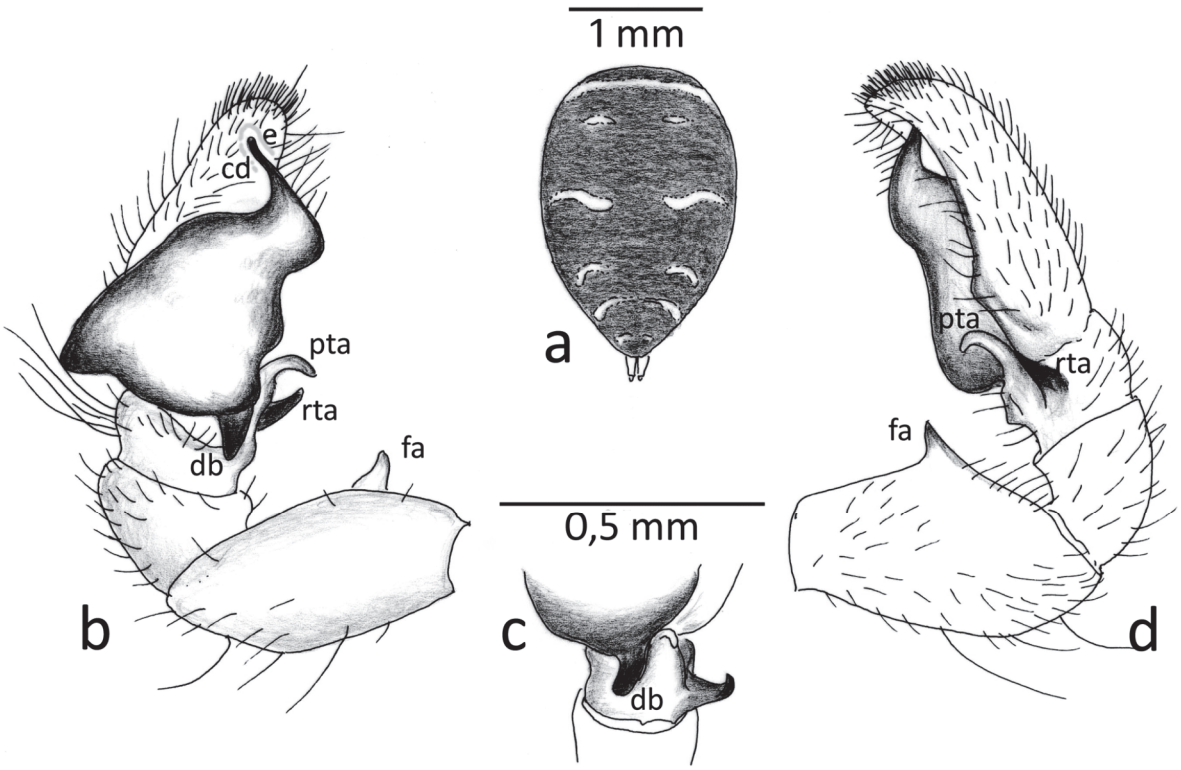


Fig. 5. *Heliophanus inversus* n. sp. **a**) aspecto dorsal del opistosoma del macho; **b**) aspecto prolateral (lateral interno) del bulbo copulador; **c**) detalle del aspecto ventral del mismo; **d**) aspecto retrolateral (lateral externo) del bulbo copulador.

ETIMOLOGÍA: El nombre escogido hace alusión a la curvatura del extremo del émbolo (fig. 5b), que adopta una dirección contraria a la que resulta más habitual en las especies del género.

HÁBITAT: Tanto Torresoli como Maó-Fondo Alegre (próxima a la zona urbana de Maó) son fincas de secano en las que el "ullastar" está repoblando los campos, donde hay ganado suelto.

DISCUSIÓN: De las 168 especies incluidas actualmente (World spider Catalog, 2018) en el género *Heliophanus* C.L. Koch, 1833, sólo 38 se han mencionado en Europa (Nentwig *et al*., 2018); de ellas, 16 se han citado en España peninsular y solamente cinco en las Islas Baleares. Se trata de un genéro extendido fundamentalmente por las zonas Paleártica y Etiópica, que ha sido objeto de una amplia monografía (Wesolowska, 1986); en este trabajo, que sirve de referencia inexcusable a cualquier estudio posterior, se hace una sucinta caracterización del género y se pasa revista a las distintas especies incluidas en él, describiendo algunas más. En base a este estudio, la taxonomía de los machos de *Heliophanus* se apoya fundamentalmente en tres grupos de caracteres: la apófisis y arista femoral, las apófisis tibiales, y el desarrollo y orientación del émbolo.

H. inversus presenta una apófisis femoral simple, ligeramente curvada en su ápice y carece de aristas; ello la separa de algunas formas comunes con apófisis más complejas de dos puntas (entre las especies ibéricas *H. auratus* C.L. Koch, 1835, *H. flavipes* (Hahn, 1832), *H. haymozi* Logunov, 2015, *H. kochii* Simon, 1868, *H. lineiventris* Simon, 1868 o *H. melinus* L. Koch, 1867) o con tres (*H. tribulosus* Simon, 1868). Por otro lado la apófisis tibial retrolateral es, en la mayoría de los casos, estrecha y curvada y la prolateral es gruesa y más o menos curvada; por el contrario en *H. inversus* las dos apófisis tibiales son consistentes y gruesas en su base, si bien la retrolateral se estrecha de un modo más evidente y su punta es más aguda, presentando un aspecto típico de "tenaza" abierta; sólo *H. aeneus* (Hahn, 1832) se acerca a este aspecto en sus apófisis tibiales, aunque en su caso la apófisis retrolateral es más estrecha y la apófisis femoral en mucho más gruesa y desarrollada. El émbolo de *H. inversus* es corto y está claramente curvado hacia la parte media sagital; de las especies ibéricas, sólo *H. ibericus* Wesolowska, 1986 presenta una orientación similar del émbolo, pero difiere claramente de *H. inversus* en el desarrollo y forma de las apófisis tibiales, así como en el de la apófisis femoral.

d) Corrigenda

1. Por indicación de Lissner (com. pers.) y atendiendo a un trabajo reciente suyo (Lissner & Bosmans, 2016), el macho identificado y representado por nosotros (Barrientos & Febrer, 2017) como *Gibbaranea ulrichi* (Hahn, 1835) corresponde sin duda a *Gibbaranea bruuni* Lissner, 2016; en cambio la hembra podría pertenecer a *G. bituberculata* (Walckenaer, 1802) [o bien a *G. omodea* (Thorell, 1870)]. Parece claro que son al menos dos las especies de este género que se pueden encontrar en Menorca.

2. Siguiendo otro trabajo de Lissner (2017), la mención de varias hembras de *Scotophaeus* Simon, 1893 como "posible" *S. torretrencada* Wunderlich, 2017 corresponden a *Scotophaeus validus* (Lucas, 1846). La captura de un macho durante los muestreos de 2017, similar al representado por Wunderlich (2017), sugiere una posible sinonimia.

Bibliografía

BARRIENTOS, J. A. & J.-B. FEBRER 2017. Arañas (Arachnida, Araneae) de Menorca (Islas Baleares, España). Nuevos datos. *Revista Ibérica de Aracnología*, **31**: 8-24. Disponible en www.sea-entomologia.org

BOSMANS, R. 2011. On some new or rare spider species from Lesbos, Greece (Araneae: Agelenidae, Amaurobiidae, Corinnidae, Gnaphosidae, Liocranidae). *Arachnologische Mitteilungen,* **40**: 15-22.

BOSMANS, R. & O. ABROUS 1990. The genus *Typhochrestus* Simon 1884 in North Africa (Araneae: Linyphiidae: Erigoninae). Studies on North African Linyphiidae V. *Bulletin de l'Institut Royal des Sciences Naturelles de Belgique,* **60**: 19-37.

BOSMANS, R. & T. BLICK 2000. Contribution to the knowledge of the genus *Micaria* in the West-palaearctic region, with description of the new genus *Arboricaria* and three new species (Araneae Gnaphosidae). *Memorie della Società Entomologica Italiana, Genova,* **78**: 443-476.

BOSMANS, R. & J. VAN KEER 1999. The genus *Enoplognatha* Pavesi, 1880 in the Mediterranean region (Araneae: Theridiidae). *Bulletin of the British Arachnological Society,* **11**: 209-241.

BOSMANS, R. & J. VAN KEER 2012. On the spider species described by L. Koch in 1882 from the Balearic Islands (Araneae). *Arachnologische Mitteilungen,* **43**: 5-16.

BOSMANS, R., P. CARDOSO & L. C. CRESPO 2010. A review of the linyphiid spiders of Portugal, with the description of six new species (Araneae: Linyphiidae). *Zootaxa,* **2473**: 1-67.

BRIGNOLI, P. M. 1971. Contributo alla conoscenza degli Agelenidae italiani (Araneae). *Fragmenta Entomologica,* **8**: 57-142.

BRISTOWE, W. S**.** 1935. The spiders of Greece and the adjacent islands. *Proceedings of the Zoological Society of London,* **1934**: 733-788.

BRISTOWE, W. S**.** 1939. *The comity of spiders*. Ray Society London vol. **1**, 1-228.

CORNIC, J.-F. & A. BOUNIAS-DELACOUR 2013. De araneis Galliae, III.3: *Ozyptila bejarana* Urones, 1998, en France. *Revue Arachnologique,* **17**: 87-88.

CUNI I MARTORELL, M. 1888. Insectos observados alrededor de Barcelona. *Anales de la Sociedad Espanola de Historia Natural*, **17**: 189-191.

DE LA FUENTE, J.M. 1898. Datos para la fauna de la provincia de Ciudad Real. IX. Aracnidos de Pozuelo de Calatrava, determinados en su mayor parte por M. E. Simon. *Anales de la Sociedad Espanola de Historia Natural*, **27**: 98-99.

ENGELHARDT, W. 1964. Die mitteleuropäischen Arten der Gattung *Trochosa* C. L. Koch, 1848 (Araneae, Lycosidae). Morphologie, Chemotaxonomie, Biologie, Autökologie. *Zeitschrift für Morphologie und Ökologie der Tiere,* **54**(3): 219-392.

HEPNER, M. & N. MILASOWSZKY 2006. Morphological separation of the central European *Trochosa* females (Araneae, Lycosidae). *Arachnologische Mitteilungen,* **31**: 1-7.

HERVÉ, C. & C. ROLLARD 2009. *Drassodes* species from the Parc national du Mercantour (French Alps), with the description of a new species (Araneae: Gnaphosidae). *Contributions to Natural History,* **12**: 627-642.

JÄGER, P., A. STAUDT, B. SCHWARZ & C. BUSSE 2000. Spinnen (Arachnida: Araneae) von Weinbergen und Weinbergsbrachen am Mittelrhein (Rheinland-Pfalz: Boppard, Oberwesel). *Arachnologische Mitteilungen,* **19**: 28-40.

KNOFLACH, B., C. ROLLARD & K. THALER 2009. Notes on Mediterranean Theridiidae (Araneae) - II. *ZooKeys,* **16**: 227-264

LISSNER, J**.** 2017**.** New records of spiders (Araneae) from Portugal. *Arachnologische Mitteilungen,* **54**: 52-58.

LISSNER, J. & R. BOSMANS 2016. Description of a new *Gibbaranea* (Araneae: Araneidae) from the Western Mediterranean. *Arachnologische Mitteilungen,* **52**: 25-30.

LOCKET, G. H. & A. F. MILLIDGE 1951-1953. *British spiders*. Ray Society, London 1, 1-310; 1-449.

LOCKET, G. H., A. F. MILLIDGE & P. MERRETT 1974. *British Spiders, Volume III*. Ray Society, London, 315 pp.

LOKSA, I. 1969. Araneae I. *Fauna Hungariae,* **97**: 1-133.

METZNER, H. 1999. Die Springspinnen (Araneae, Salticidae) Griechenlands. *Andrias,* **14**: 1-279.

MORANO, E., J. CARRILLO & P. CARDOSO 2014. *Iberian spider catalogue* (v3.1). Available online at http://www.ennor.org/iberia

MURPHY, J. 2007. *Gnaphosid genera of the world*. British Arachnological Society, St Neots, Cambridgeshire 1, i-xii, 1-92; 2, i-ii, 93-605

MUSTER, C., R. BOSMANS & K. THALER 2007. The *Philodromus pulchellus*-group in the Mediterranean: taxonomic revision, phylogenetic analysis and biogeography (Araneae: Philodromidae). *Invertebrate Systematics,* **21**: 39-72.

NENTWIG, W., T. BLICK, D. GLOOR, A. HÄNGGI & C. KROPF 2018. *Spiders of Europe*. www.araneae.unibe.ch, version 11-2018, accessed on 23/11/2018.

ORGHIDAN, T., M. DUMITRESCU & M. GEORGESCU 1975. Mission biospéologique "Constantin Dragan" à Majorque (1970-1971). *Travaux de l'Institut de Spéologie "Émile Racovitza",* **14**: 9-33.

PRÓSZYŃSKI, J. 1976. Studium systematyczno-zoogeograflczne nad rodziną Salticidae (Aranei) Regionów Palearktycznego i Nearktycznego. *Wyższa Szkola Pedagogiczna Siedlcach,* **6**: 1-260.

ROBERTS, M. J. 1985-87. *The spiders of Great Britain and Ireland,* Volume 1: Atypidae to Theridiosomatidae. Volume 2: Linyphiidae and check list. Harley Books, Colchester, England, 204 pp.

ROBERTS, M. J. 1995. *Collins Field Guide: Spiders of Britain & Northern Europe*. HarperCollins, London, 383 pp.

SIMON, E. 1914-1937. *Les arachnides de France. Synopsis générale et catalogue des espèces françaises de l'ordre des Araneae. Tome VI.* Roret, Paris. *1re partie*: 1-308; *2e partie*: 309-532; *3e partie*: 533-772; *4e partie*: 773-978; *5e et derniére partie:* 979-1298.

THALER, K. 1980. Über wenig bekannte Zwergspinnen aus den Alpen - VI (Arachnida: Aranei, Erigonidae). *Revue Suisse de Zoologie,* **87**(2): 579-603.

THALER, K. & B. KNOFLACH 1993. Two new *Amaurobius* species (Araneae: Amaurobiidae) from Greece. *Bulletin of the British Arachnological Society,* **9**: 132-136.

THALER, K. & B. KNOFLACH 1995. Über Vorkommen und Verbreitung von *Amaurobius*-Arten in Peloponnes und Ägäis (Araneida: Amaurobiidae). *Revue Suisse de Zoologie,* **102**: 41-60

THALER, K. & B. KNOFLACH 1998. Two new species and new records of the genus *Amaurobius* (Araneae, Amaurobiidae) from Greece. In: Seldon, P. A. (ed.) *Proceedings of the 17th European Colloquium of Arachnology, Edinburgh 1997*. Edinburgh, pp. 107-114.

THALER, K. & B. KNOFLACH 2002. A superspecies in the genus *Amaurobius* on Crete, and additional records from Greece (Araneae: Amaurobiidae). In: Toft, S. & N. Scharff (eds.) *European Arachnology 2000: Proceedings of the 19th European Colloquium of Arachnology*. Aarhus University Press, pp. 337-344.

URONES, C. 1998. Descripción de *Oxyptila bejarana* n. sp. de la Sierra de Béjar (Salamanca, España) (Araneae, Thomisidae). *Revue Arachnologique,* **12**: 79-88

WESOLOWSKA, W. 1986. A revision of the genus *Heliophanus* C. L. Koch, 1833 (Aranei: Salticidae). *Annales Zoologici, Warszawa,* **40**: 1-254.

WIEHLE, H. 1956. Spinnentiere oder Arachnoidea (Araneae). 28. Familie Linyphiidae-Baldachinspinnen. *Tierwelt Deutschlands*, **44**: i-viii, 1-337.

WIEHLE, H. 1960. Spinnentiere oder Arachnoidea (Araneae). XI. Micryphantidae-Zwergspinnen. *Tierwelt Deutschlands*, **47**, i-xi, 1-620.

WORLD SPIDER CATALOG 2018. *World spider Catalog*. Natural History Museum Bern, online at http://wsc.nmbe.ch, version 19.5, accessed on 23/11/2018.

WUNDERLICH, J. 1980a. Revision der europäischen Arten der Gattung *Micaria* Westring 1851, mit Anmerkungen zu den übrigen paläarktischen Arten (Arachnida: Araneida: Gnaphosidae). *Zoologische Beiträge* (N.F.), **25**(1979): 233-341

WUNDERLICH, J. 1980b. Zur Gattung *Chalcoscirtus* Bertkau 1880, mit einer Neubeschreibung (Arachnida: Araneae: Salticidae). *Senckenbergiana Biologica,* **60**: 355-358.

WUNDERLICH, J. 1987. *Die Spinnen der Kanarischen Inseln und Madeiras: Adaptive Radiation, Biogeographie, Revisionen und Neubeschreibungen*. Triops, Langen, 435 pp.

WUNDERLICH, J. 1995. Beschreibung bisher unbekannter Arten der Baldachinspinnen aus der östlichen Mediterraneis (Arachnida: Araneae: Linyphiidae). *Beiträge zur Araneologie,* **4**(1994): 655-686.

WUNDERLICH, J. 2017**.** Descriptions, notes and synonyms of some mainly Mediterranean and Macaronesian spiders (Araneae) of various families. *Beiträge zur Araneologie,* **10**: 298-326, 354.

WUNDERLICH, J. & W. SCHULTZ 1995. *Ozyptila westringi* (Thorell 1873), eine in Deutschland seltene Krabbenspinnenart (Arachnida: Araneae: Thomisidae). *Beiträge zur Araneologie,* **4**(1994): 329-333.

Anexo I.

Relación y características de las distintas localidades muestreadas durante 2017 (ver figura 1). Las coordenadas (Coord) han sido obtenidas en la web http://ide.cime.es/visoride/, del Consell Insular de Menorca, y corresponden a la zona UTM 31N.

Nº	Localidades	Área de recolección	Coord.	Características
1	Addaia	Antigua salina en el Port d'Addaia	X602771, Y4427458	Bosque de ullastres y pinos, y áreas de cultivo extensivo tradicional. Marisma rodeada de bosque mediterráneo
2	Biniguarda	Finca agro-ganadera	X595789, Y4422723	Antiguo campo de cultivo con bosque de pinos, encinas y ullastres en recuperación.
3	Cales Coves	Zona urbanizada	X599418, Y4413876	Interior de casas y patios.
4	Capell de Ferro	Finca agro-ganadera	X603471, Y4425350	Áreas de bosque de ullastres, intercaladas con cultivos
5	Carbonell	Finca agro-ganadera del norte de la isla	X596463, Y4429708	Campos de cultivo en barbecho y pasto para ganado vacuno. En los márgenes, áreas de ullastres, pinos y lentiscos.
6	Cavalleria	Zona de la costa norte, con un área de dunas	X591900, Y4434930	Dunas litorales cubiertas de matorral y áreas de sustrato duro con ullastres y carrizo
7	Es Castell	Zona urbana y alrededores	X610980, Y4414612	Interior de casas y patios y campos de alrededores
8	Favaritx	Zona costera al norte de la isla	X606983, Y4427789	Vegetación arbustiva litoral baja, suelo arenoso
9	Maó	Área urbana y alrededores	X606940, Y4416596	En edificios y parcelas con vegetación
10	Montgofre	Finca del norte	X603456, Y4426772	Campos sin cultivar, pastos cubiertos en parte por ullastres, pinos y matorral mediterráneo.
11	Pou Nou	Zona urbana diseminada	X608070, Y4411681	Parcelas con ullastres, pinos y lentiscos aislados, con vegetación herbácea
12	Sa Boval Vella	Finca de ganado vacuno	X605860, Y4422879	Campos de pasto para el ganado con zonas de vegetación arbórea. Áreas de prados cercanas a la marisma de Es Grao casi siempre verdes, con tamarindos y juncos.
13	Sa Roca	Área boscosa extensa	X596225, Y4426786	Bosque denso de pino blanco , matorral mediterráneo y encinas dispersas
14	Santa Àgueda	Área montañosa	X585847 Y4431303	Colina de 260 m, con bosque y matorral, de encinas, pinos, brezo, lentiscos y ullastres
15	Trebaluger	Área urbanizada dispersa	X609500 Y4412150	Patios y jardines de viviendas

Anexo II.

Relación de muestras estudiadas, ordenadas con un criterio alfabético de los taxones representados.

Familia AGELENIDAE

Lycosoides coarctata (Dufour, 1831): 3♀♀, Addaia, 19/03/2017; 3♀♀, Capell de Ferro, 12/11/2017; 1♀, Carbonell, 06/05/2017; 6♀♀, 1j, Cavallería, 04/02/2017; 1j, Es Castell, 01/09/2017; 2♂♂, idem, 28/10/2017; 3♀♀, Montgofre, 29/01/2017; 1 j, idem, 13/05/17; 1♀, 1j, idem, 13/07/2017; 1♀, Pou Nou, 06/07/2017; 5 jj, Sa Boval Vella, 05/08/2017; 8jj, idem, 02/09/2017; 5♂♂, 3♀♀, 5jj, idem, 30/09/2017; 86♂♂, 5♀♀, 6jj, idem, 28/10/2017; 7♂♂, idem, 18/11/2017; 1j, Sa Roca, 03/06/2017; 2♀♀, Santa Águeda, 20/05/2017; 6jj, Trebaluguer, 07/10/2017.

Tegenaria pagana C.L. Koch, 1840: 1♂, Montgofre, 15/04/2017.

Tegenaria silvestris L. Kock, 1872: 1♀, Montgofre, 29/01/2017.

Familia AMAUROBIIDAE

Amaurobius sp. (jj.iIndet.): 1j, Pou Nou, 06/07/2017.

Familia ANYPHAENIDAE

Anyphaena sp. (jj.indet.): 1j, Capell de Ferro, 12/11/2017.

Familia ARANEIDAE

Araneus angulatus (Clerck, 1757): 2jj, Carbonell, 03/06/2017; 1j, Es Castell, 15/06/2017; 3♀♀, Maó, 15/10/2017; 1j, Sa Roca, 19/03/2017; 1♀, idem, 24/06/2017; 2♀♀, Santa Àgueda, 20/05/ 2017; 2♀♀, idem, 17/06/2017; 1♂, Trebaluguer, 07/10/2017.

Cyclosa insulana (Costa, 1834): 1♀, Carbonell, 24/06/2017; 1♀, Sa Boval Vella, 02/09/2017; 1♀, Santa Àgueda, 17/06/2017.

Cyrtophora citricola (Forsskål, 1775): 1♂, Carbonell, 24/06/2017; 1♂, 1h♀, idem, 17/09/2017; 2jj, Sa Boval Vella, 18/11/2017.

Gibbaranea sp. (jj.indet.): 1j, Biniguarda, 17/12/2017; 3jj, Carbonell, 03/06/2017; 2jj, Sa Boval Vella, 18/11/2017.

Larinioides cornutus (Clerck, 1757): 1♀, Sa Boval Vella, 02/09/2017.

Mangora acalypha (Walckenaer, 1802): 4♀♀, Santa Àgueda, 17/06/2017.

Neoscona adianta (Walckenaer, 1802): 10jj, Carbonell, 19/03/2017; 4jj, idem, 06/05/2017; 1♂, idem, 03/06/2017; 1♂, Sa Boval Vella, 02/09/2017; 1♀, idem, 30/09/2017; 10jj, Santa Àgueda, 20/05/2017.

Zilla diodia (Walckenaer, 1802): 1♀, Addaia, 17/01/2017; 1♀, Montgofre, 13/05/2017; 1♀, Sa Roca, 24/06/2017.

Familia DYSDERIDAE

Dysdera crocata C.L. Koch, 1840: 9♂♂, 2♀♀, 1j, Addaia, 15/04/2017; 6♂♂, 1jj, idem, 10/06/2017; 7♂♂, 5♀♀, 4jj, idem, 01/07/2017; 3♂♂, 2♀♀, 1j, Capell de Ferro, 12/11/2017 ; 1♀, Cavallería, 04/02/2017; 2♂♂, 1♀, 2jj, Montgofre, 19/03/2017; 1♀, idem, 15/04/2017; 7♂♂, 1♀, 2jj, idem, 13/05/2017; 6♀♀, 6jj, idem, 10/06/2017; 2♂♂, 5♀♀, 5jj, idem, 01/07/2017; 1♂, 4jj, Pou Nou, 06/07/2017; 14♂♂, 7♀♀, 5jj, Sa Boval Vella, 05/08/2017; 1♂, 5♀♀, 6jj, idem, 02/09/2017; 1♀, 17jj, idem, 30/09/2017; 11♂♂, 11♀♀, 6jj, idem, 18/11/2017;2♀♀, 1j, Sa Roca, 19/03/2017; 1♂, 1♀, 2jj, idem, 06/05/2017; 1♀, 1j, idem, 03/06/2017; 4♀♀, 4jj, idem, 24/06/2017.

Harpactea dufouri (Thorell, 1873): 4♂♂, Addaia, 15/04/2017; 6♂♂, 2♀♀, idem, 10/06/2017; 2♂♂, 5♀♀, idem, 01/07/2017; 2♀♀, 2jj, Capell de Ferro, 12/11/2017 ; 2♂♂, Carbonell, 06/05/2017; 2♀♀, idem, 03/06/2017; 1♀, 1j, idem, 24/06/2017; 1♀, 2jj, Montgofre, 19/03/2017; 6♂♂, 1j, idem, 15/04/2017; 13♂♂, 2♀♀, idem, 13/05/2017; 1♂, 4♀♀, idem, 10/06/2017; 2♀♀, idem, 01/07/2017; 1♀, Pou Nou, 07/05/2017; 3♀♀, 6jj, idem, 06/07/2017; 1j, Sa Boval Vella, 30/09/2017; 3♂♂, 3♀♀, 6jj, idem, 28/10/2017; 4♂♂, 1♀, Sa Roca, 19/03/2017; 4♂♂, idem., 06/05/2017; 2♂♂, idem, 03/06/2017.

Familia FILISTATIDAE

Filistata insidiatrix (Forskael, 1775): 1♀, Es Castell, 15/06/2017; 2♀♀, Santa Àgueda, 17/06/2017.

Familia GNAPHOSIDAE

Aphantaulax sp. (jj.indet.): 1j, Carbonell, 06/05/2017. [Posiblemente *Aphantaulax trifasciata* (O.P.-Cambridge, 1872)]

Drassodes inermis (Simon, 1878): 1♀, Carbonell, 24/06/2017.

Drassodes lapidosus (Walckenaer, 1802): 1♂, Carbonell, 06/03/2017; 1♀, idem, 24/06/2017.

Drassodes sp. (jj.indet.): 2jj, Capell de Ferro, 12/11/2017; 2jj, Cavallería, 04/02/2017; 2jj, Sa Boval Vella, 18/11/2017; 1j, Santa Àgueda, 21/04/2017.

Heser nilicola (O.P.-Cambridge, 1874): 2♀♀, Montgofre, 10/06/2017.

Leptodrassex simoni (Dalmas, 1919): 1♂, Trebajuguer, 01/08/2017.

Leptodrassus sp. (jj.indet.): 1j, Sa Boval Vella, 18/11/2017.

Micaria dives (Lucas, 1846): 1♂, Addaia, 13/05/2017.

Nomisia exornata (C.L. Koch, 1839): 1j, Addaia, 19/03/2017; 1♀, idem, 10/06/2017; 2jj, Biniguarda, 17/12/2017; 2jj, Capell de Ferro, 12/11/2017; 1j, Carbonell, 24/06/2017; 5jj, Es Castell, 01/09/2017; 1♀, Montgofre, 10/06/2017; 3jj, Sa Boval Vella, 02/09/2017; 4jj, idem, 30/09/2017.

Scotophaeus validus (Lucas, 1846): 2jj, Capell de Ferro, 12/11/2017; 3jj, Carbonell, 12/03/2017; 1♀♀, 1j, idem, 06/05/2017; 1j, Montgofre, 01/07/2017; 1♂, Pou Nou, 11/10/2017; 2jj, Sa Boval Vella, 18/11/2017.

Setaphis sp. (jj.indet.): 1j, Montgofre, 19/01/2017. [Posiblemente *Setaphis carmeli* (O.P.-Cambridge, 1872)]

Trachyzelotes barbatus (L. Koch, 1866): 2♀♀, Addaia, 10/06/2017; 2♀♀, idem, 01/07/2017; 7♂♂, 3♀♀, Carbonell, 06/05/2017; 5♂♂, 1j, idem, 03/06/2017; 2♂♂, 1♀, idem, 24/06/2017; 1j, Montgofre, 29/01/2017; 1♀, idem, 13/05/2017; 3♂♂, idem, 10/06/2017; 1♀, Pou Nou, 07/05/2017; 1♂, idem, 06/07/2017; 14♂♂, 13♀♀, 1j, Sa Boval Vella, 05/08/2017; 5♀♀, 5jj, idem, 02/09/2017; 3♀♀, 9jj, idem, 30/09/2017; 5jj, idem, 28/10/2017; 2jj, Sa Roca, 06/05/2017; 1♂, idem, 03/06/2017; 2♂♂, 4♀♀, idem, 24/06/2017; 3jj, Santa Àgueda, 26/03/2017; 9♂♂, 1♀, idem, 20/05/2017; 4♂♂, 2♀♀, 1j, 17/06/2017.

Trachyzelotes fuscipes (L. Koch, 1866): 1♀, Carbonell, 06/05/2017; 1j, Montgofre, 15/04/2017; 2♂♂, 8♀♀, idem, 10/06/2017; 1♀, Pou Nou, 20/09/2017; 2♀♀, Sa Boval Vella, 28/10/2017; 1j, Sa Roca, 12/03/2017; 1♀, 1j, Santa Àgueda, 26/03/2017; 1♂, 1♀, 1j, idem, 21/04/2017; 1♂, 3♀♀, 4jj, idem, 20/05/2017; 1♀, idem, 17/06/2017.

Trachyzelotes lyonneti (Audouin, 1826): 1j, Addaia, 15/04/2017; 2♂♂, 3♀♀, 2jj, idem, 10/06/2017; 8♂♂, 11♀♀, 1j, idem, 01/07/2017; 4jj, Capell de Ferro, 12/11/2017; 5♂♂, 1♀, Carbonell, 06/05/2017; 5♂♂, 3♀♀, 5jj, idem, 03/06/2017; 1♂, 3jj, idem, 24/06/2017; 1♂, 1j, Mongofre, 19/03/2017; 2♀♀, 9jj, idem, 15/04/2017; 8♂♂, 6♀♀, 16jj, idem,13/05/2017; 25♂♂, 24♀♀, 4jj, idem, 10/06/2017; 2♂♂, 16♀♀, 2jj, idem, 01/07/2017; 2♂♂, 1♀, 1j, Pou Nou, 06/07/2017; 3♂♂, 18♀♀, Sa Boval Vella, 05/08/2017; 6♀♀, idem, 02/09/2017; 2♂♂, 1♀, 2jj, idem, 30/09/2017; 1♀, 3jj, idem, 18/11/2017; 4♂♂, 3jj, Sa Roca, 19/03/2017; 2♂♂, 2jj, idem, 06/05/2017; 1♂, 1♀, 1j, idem, 03/06/2017; 6♀♀, 2jj, idem, 24/06/2017; 2♂♂, 2♀♀, 2jj, Santa Àgueda, 21/04/2017; 11♂♂, 8♀♀, 3jj, idem, 20/05/2017; 17♂♂, 3♀♀, idem, 17/06/2017.

Trachyzelotes sp. (jj.indet.): 1j, Carbonell, 19/03/2017; 1j, idem, 24/06/2017; 4jj, Sa Boval Vella, 30/09/2017; 6jj, idem, 28/10/2017; 6jj, idem, 18/11/2017.

Zelotes callidus (Simon, 1878): 1♀, 1j, Carbonell, 24/06/2017; 1♀, Montgofre, 10/06/2017; 7♀♀, Sa Boval Vella, 06/08/2017; 1♂, 1♀, idem, 02/09/2017; 2♀♀, 3jj, idem, 30/09/2017; 1♂, Sa Roca, 03/06/2017; 1♀, Santa Àgueda, 17/06/2017.

Zelotes egregius Simon, 1914: 1♀, Santa Àgueda, 20/05/2017.

Zelotes fulvopilosus (Simon, 1878): 2♂♂, 1♀, Carbonell, 24/06/2017; 1♀, Sa Roca, 24/06/2017; 3♂♂, 1♀, 1j, Santa Àgueda, 17/05/2017; 4♂♂, 2♀♀, idem, 17/06/2017.

Zelotes sp. (jj.indet.): 1j, Biniguarda, 17/12/2017; 6jj, Carbonell, 24/06/2017; 1j, Sa Boval Vella, 30/09/2017; 1j, idem, 28/10/2017; 3jj, Sa Roca, 06/03/2017; 1j, Santa Àgueda, 17/06/2017.

Zelotes tenuis (L. Koch, 1866): 2♂, Carbonell, 24/06/2017; 1♂, Montgofre, 10/06/2017; 2♂, 1♀, idem, 01/07/2017; 1♀, Sa Boval Vella, 05/08/2017; 1♀, idem, 02/09/2017; 1♀, Santa Àgueda, 17/05/2017.

Familia HAHNIIDAE

Hahnia nava (Blackwall, 1841): 1♀, Biniguarda, 17/12/2017.

Familia LINYPHIIDAE

Centromerus dilutus (O.P.-Cambridge, 1875): 1♀, Montgofre, 15/04/2017.

Dicymbium tibiale (Blackwall, 1836): 1♀, Santa Àgueda, 21/04/2017.

Lepthyphantes sp. (jj.indet.): 1j, Santa Àgueda, 20/05/2017. [Posiblemente *Lepthyphantes balearicus* Denis, 1961]

Linyphia sp. (jj.indet.): 1j, Santa Àgueda, 17/06/2017. [Posiblemente *Linyphia triangularis* (Clerck, 1757)]

Neriene furtiva (O. P.-Cambridge, 1871): 1♀, Santa Àgueda, 17/06/2017.

Sintula diceros Simon, 1926: 1♂, 3♀♀, Carbonell, 08/04/2017; 3♀♀, idem, 06/05/2017; 1♀, Pou Nou, 07/05/2017.

Tenuiphantes tenuis (Blackwall, 1852): 1♀, Addaia, 10/06/2017.

Trichoncus aurantiipes Simon, 1884: 1♀, Addaia, 03/05/2017; 1♀, Capell de Ferro, 12/11/2017.

Trichopterna cucurbitina (Simon, 1881): 8♂♂, Sa Boval Vella, 18/11/2017.

Familia LIOCRANIDAE

Cybaeodes mallorcensis Wunderlich, 2008: 2♂♂, Sa Boval Vella, 30/09/2017; 2♂♂, 1♀, idem, 28/10/2017; 1♀, idem, 18/11/2017.

Scotina celans (Blackwall, 1841): 1♂, Capell de Ferro, 12/11/2017.

Familia LYCOSIDAE

Alopecosa albofasciata (Brullé, 1832): 3♀♀, Capell de Ferro, 12/11/2017; 1♀, Carbonell, 19/03/2017; 2jj, Es Castell, 01/09/2017; 1j, Sa Boval Vella, 30/09/2017; 1j, Sa Roca, 12/03/2017; 1♂, idem, 03/06/2017; 2♂♂, Santa Àgueda, 26/03/2017.

Arctosa fulvolineata (Lucas, 1846): 1♀, Montgofre, 19/03/2017.

Hogna radiata (Latreille, 1817): 1j, Addaia, 10/06/2017; 1♂, 1♀, Cales Coves, 28/07/2017; 5jj, Carbonell, 03/06/2017; 1♂, 3♀♀, idem, 24/06/2017; 1♂, 1♀, Montgofre, 10/06/2017; 4jj, idem, 01/07/2017; 1j, 1♀, 1j, Pou Nou, 20/09/2017; 3♀♀, Sa Boval Vella, 05/08/2017; Sa Roca, 12/03/2017; 1j, idem, 06/05/2017; 1j, Santa Àgueda, 17/06/2017.

Pardosa proxima (C.L. Koch, 1847): 1♀, Sa Boval Vella, 15/07/2017; 1♀, idem, 02/09/2017; 1♀, 1j, idem, 30/09/2017; 3jj, idem, 18/11/2017; 2♀♀, 2jj, Trebaluger, 07/10/2017.

Trabea sp. (jj.indet.): 1j, Biniguarda, 17/12/2017. [Posiblemente *Trabea paradoxa* Simon, 1876]

Trochosa ruricola (De Geer, 1778): 2♀♀, 2jj, Sa Boval Vella, 30/09/2017.

Familia NEMESIIDAE

Iberesia brauni (L. Koch, 1882): 1♂, Maó, 06/12/2017; 2♂♂, 2jj, Pou Nou, 20/09/2017; 2♂♂, idem, 24/09/2017; 1♂, idem, 25/10/2017.

Nemesia sp. «Minorca»: 2♂♂, Sa Roca, 06/05/2017; 5♀♀, idem, 24/06/2017; 5♀♀, Santa Àgueda, 20/05/2017.

Familia OECOBIIDAE

Oecobius navus Blackwall, 1859: 1♀, 2jj, Es Castell, 25/04/2017; 1♀, Santa Àgueda, 17/06/2017.

Familia OONOPIDAE

Silhouettella loricatula (Roewer, 1942): 1♀, Carbonell, 24/06/2017.

Familia PHILODROMIDAE

Pulchellodromus bistigma (Simon, 1870): 1♂, Es Castell, 09/05/2017.
Philodromus sp. (jj.indet.): 1j, Addaia, 19/03/2017; 1j, Capell de Ferro, 12/11/2017.
Tibellus sp. (jj.indet.): 1j, Addaia, 19/03/2017; 1j, Sa Boval Vella, 02/09/2017; 2jj, idem, 30/09/2017.

Familia PHOLCIDAE

Pholcus phalangioides (Fuesslin, 1775): 1♀, Es Castell, 15/06/2017; 1♀, 2jj, Trebaluger, 07/10/2017.

Familia PISAURIDAE

Pisaura mirabilis (Clerck, 1757): 6jj, Biniguarda, 17/12/2017; 1♂, Sa Roca, 19/03/2017; 1♀, Santa Àgueda, 20/05/2017.

Familia SALTICIDAE

Ballus sp. (jj.indet.): 1j, Sa Boval Vella, 18/11/2017.
Chalcoscirtus infimus (Simon, 1868): 1j, Capell de Ferro, 12/11/2017; 1♀, Sa Roca, 24/06/2017.
Cyrba algerina (Lucas, 1846): 1♀, 2jj, Addaia, 19/03/2017; 2jj, Biniguarda, 17/12/2017 ; 1♂, Carbonell, 06/05/2017; 5jj, Cavalleria, 04/02/2017; 1♂, Es Castell, 15/06/2017; 2♀♀, 1j, Favaritx, 28/10/2017; 1♀, Montgofre, 15/04/2017; 1♂, idem, 13/05/2017; 1♀, idem, 01/07/2017; 1♂, Pou Nou, 06/07/2017; 1♀, 1j, Sa Boval Vella, 28/10/2017; 2jj, idem, 18/11/2017; 5jj, Sa Roca, 12/03/2017; 1♂, 2jj, idem, 08/04/2017; 1♀, idem, 24/06/2017; 3♂♂, 3jj, Santa Àgueda, 26/03/2017; 4♂♂, 2♀♀, 3jj, idem, 21/04/2017; 3♂♂, 1♀, 2jj, idem, 20/05/2017; 1♂, 1♀, idem, 03/06/2017.
Euophrys sulphurea (L. Koch, 1867): 3♀♀, Carbonell, 24/06/2017; 1♀, Sa Boval Vella, 05/08/2017; 1♀, idem, 02/09/2017; 2♀♀, idem, 30/09/2017; 1♀, Sa Roca, 08/06/2017; 1♀, 1j, idem, 24/06/2017.
Euoprhys sp. (jj.indet.): 1j, Montgofre, 15/04/2017.
Evarcha jucunda (Lucas, 1846): 1j, Addaia, 19/03/2017; 1j, idem, 10/06/2017; 1♀, 2jj, Carbonell, 19/03/2017; 1♂, Es Castell, 11/06/2017; 1♂, idem, 15/06/2017; 1♂, idem, 20/08/2017.
Evarcha sp. (jj.indet): 1j, Sa Boval Vella, 02/09/2017; 2jj, idem, 30/09/2017; 1j, Sa Roca, 19/03/2017.
Heliophanus apiatus Simon, 1868: 1♂, Es Castell, 01/02/2017.
Heliophanus cupreus (Walckenaer, 1802): 1♂, Torresoli, 04/06/2016.
Heliophanus tribulosus Simon, 1868: 1♀, Montgofre, 15/04/2017; 1♀, Sa Roca, 19/03/2017.
Icius hamatus (C.L. Koch, 1846): 1♀, Es Castell, 31/03/2017; 1♂, 1♀, idem, 20/04/2017; 1h, Pou Nou, 30/05/2017; 2♂♂, 2♀♀, Sa Boval Vella, 05/08/2017; 1♂, Trebaluger, 07/10/2017.
Menemerus semilimbatus (Hahn, 1829): 1♂, Carbonell, 06/03/2017; 1♀, Es Castell, 03/06/2017; 1j, idem, 30/06/2017.
Phlegra bresnieri (Lucas, 1846): 1♀, Addaia, 19/03/2017; 1♀, Sa Boval Vella, 28/10/2017.
Pseudeuophrys vafra (Blackwall, 1867): 6♂♂, 1♀, Es Castell, 15/06/2017.

Familia SCYTODIDAE

Scytodes thoracica (Latreille, 1802): 1♂, Addaia, 10/06/2017; 1♀, Carbonell, 06/05/2017; 1♂, idem, 24/06/2017; 2♂♂, Montgofre, 13/05/2017; 1j, Pou Nou, 06/07/2017 ; 1j, Sa Roca, 06/05/2017; 1♀, 1j, idem, 03/06/2017; 3♂♂, 2jj, idem, 24/06/2017; 2♂♂, 1♀, 2jj, Santa Àgueda, 20/05/2017; 3♂♂, 1♀, 2jj, idem, 17/06/2017.

Familia SEGESTRIIDAE

Ariadna sp. (jj.indet.): 2jj, Sa Roca, 11/02/2017.

Familia SICARIIDAE

Loxosceles rufescens (Dufour, 1820): 1♀, Carbonell, 06/05/2017; 1♂, 1j, idem, 24/06/2017; 1j, Favaritx, 28/10/2017; 1♂, Maó, 07/12/2017; 1♂, 3♀♀, Montgofre, 13/05/2017; 1♂, 1♀, idem, 10/06/2017; 1♂, idem, 01/07/2017; 1♀, Pou Nou, 07/05/2017; 1♂, Sa Boval Vella, 18/11/2017; 1j, Sa Roca, 12/03/2017; 1♀, idem, 03/06/2017; 1♂, 24/06/2017; 1♀, Santa Àgueda, 17/06/2017.

Familia SPARASSIDAE

Micrommata sp. (jj.indet.): 3jj, Addaia, 10/06/2017; 2jj, Montgofre, 10/06/2017.
Olios sp. (jj.indet.): 1j, Capell de Ferro, 12/11/17. [Posiblemente *Olios argelasius* (Walckenaer, 1805)]

Familia TETRAGNATHIDAE

Tetragnatha intermedia Kulczynski, 1891: 3jj, Addaia, 19/03/2017; 2♂♂, 1♀, idem, 10/06/2017; 4♂♂, 5♀♀, 5jj, Sa Boval Vella, 02/09/2017; 1♂, idem, 30/09/2017.

Familia THERIDIIDAE

Anelosimus pulchellus (Walckenaer, 1802): 1♀, Sa Roca, 06/03/2017.
Anelosimus sp. (jj.indet.): 1j, Biniguarda, 17/12/2017.
Argyrodes argyrodes (Walckenaer, 1841): 1♀, Addaia, 10/06/2017; 3♂♂, 5♀♀, Carbonell, 24/06/2017; 2♂♂, 2♀♀, idem, 17/09/2017; 2♂♂, 2♀♀, Sa Boval Vella, 02/09/2017; 1j, Sa Roca, 19/03/2017; 1♂, 2♀♀, 2jj, idem, 03/06/2017; 1♀, Santa Àgueda, 17/06/2017.
Enoplognatha diversa (Blackwall, 1859): 1♂, Carbonell, 12/03/2017.
Enoplognatha sp. (jj.indet.): 1j, Montgofre, 29/01/2017.
Episinus algiricus Lucas, 1846: 2♀♀, Montgofre, 10/06/2017.
Euryopis sp. (jj.indet.): 1j, Montgofre, 15/04/2017. [Posiblemente *Euryopis episinoides* (Walckenaer, 1847)]
Heterotheridion nigrovariegatum (Simon, 1873): 1♀, Sa Boval Vella, 28/10/2017.
Kochiura sp. (jj.indet.): 1j, Capell de Ferro, 12/11/2017; 4jj, Sa Boval Vella, 18/11/2017. [Posiblemente *Kochiura aulica* (C.L. Koch, 1838)]
Platnickina nigrovariegata (Lucas, 1846): 1♀, Capell de Ferro, 12/11/2017.
Robertus lividus (Blackwall, 1836): 2♀♀, Sa Roca, 08/04/2017.
Steatoda grossa (C.L. Koch, 1838): 2♀♀, Es Castell, 17/05/2017; 1♀, idem, 27/05/2017; 1♀, idem, 15/07/2017; 1j, idem, 28/10/2017.
Steatoda paykulliana (Walckenaer, 1805): 1♂, Capell de Ferro, 12/11/2017.
Steatoda sp. (jj.indet.): 1j, Es Castell, 27/05/2017.
Steatoda triangulosa (Walckenaer, 1802): 1♀, Es Castell, 13/10/2017; 1♀, Trebaluger, 07/10/2017.

Familia THOMISIDAE

Diaea sp. (jj.indet.): 3jj, Capell de Ferro, 12/11/2017. [Posiblemente *Diaea dorsata* (Fabricius, 1777)]
Ozyptila bejarana Urones, 1998: 1♀, Addaia, 10/06/2017.
Ozyptila westringi (Thorell, 1873): 2♀♀, Sa Boval Vella, 05/08/2017.
Runcinia grammica C.L. Koch, 1837): 1♂, 2jj, Carbonell, 24/06/2017; 1♀, Sa Boval Vella, 02/09/2017.
Synema globosum (Fabricius, 1775): 6♂♂, 1j, Addaia, 19/03/2017; 1j, Capell de Ferro, 12/11/2017; 1♀, 1j, Carbonell, 06/05/2017; 1♂, Es Castell, 30/07/2017; 3jj, Sa Boval Vella, 02/09/2017; 7jj, idem, 18/11/2017; 2♂♂, 1j, Sa Roca, 19/03/2017.
Thomisus sp. (jj.indet.): 1j, Capell de Ferro, 10/11/2017; 1j, Es Castell, 10/08/2017.
Xysticus nubilus Simon, 1875: 1j, Addaia, 10/06/2017; 1j, Capell de Ferro, 12/11/2017; 1♀, Es Castell, 17/05/2017; 3jj, Sa Boval Vella, 02/09/2017; 3jj, idem, 30/09/2017; 1j, idem, 18/11/2017.
Xysticus sp. (jj.indet.): 3jj, Sa Boval Vella, 18/11/2017.

Familia TITANOECIDAE

Nurscia albomaculata (Lucas, 1846): 1♀, Sa Boval Vella, 15/07/2017; 2♀♀, idem, 05/08/2017.

Familia ZOROPSIDAE

Zoropsis bilineata Dahl, 1901: 1♂, 2♀♀, Biniguarda, 17/12/2017; 2♀♀, 2jj, Capell de Ferro, 12/11/2017; 2jj, Trebaluger, 07/10/2017.

A efectos faunísticos, además de las relacionadas en este listado, deben añadirse las tres especies nuevas descritas en este trabajo [*Amaurobius minorca* n. sp., *Typhochrestus ciliiunti* n. sp. y *Heliophanus inversus* n.sp.] y las dos especies de *Gibbaranea* que derivan de la corrección del manuscrito anterior [*Gibbaranea bruuni* Lissner, 2016 y *Gibbaranea bituberculata* (Walckenaer, 1802); al tiempo que debe eliminarse a *Gibbaranea ulrichi* (Hahn, 1835)].